

Г.М. СУЧКОВ, д-р техн. наук, проф., НТУ «ХПИ», Харків
Ю.В. ХОМЯК, аспирант, НТУ «ХПИ», Харків
М.В. ДОБРОБАБА, магистр, НТУ «ХПИ», Харків

ИССЛЕДОВАНИЕ МОДЕЛИ НАКЛАДНОГО ОРТОГОНАЛЬНОГО ВИХРЕТОКОВОГО ПРЕОБРАЗОВАТЕЛЯ

Досліджено модель для оцінки взаємодії вихорострумового перетворювача з об'єктом, який має поверхневу тріщину. Наведено математичні співвідношення для цієї моделі. Проведені розрахунки залежностей сигналів вихорострумового перетворювача від його геометричних параметрів та взаємного розташування обмоток і поверхневої тріщини в сталевому зразку.

The numerical model of interaction of eddy-current probe with an object that has a surface crack is developed. It is shown formulas for calculating the eddy-current probe signal. The calculation of dependence of signals of eddy-current probe from geometrical parameters and position was carried out.

Введение. В настоящее время большинство вихретоковых дефектоскопов имеют в своем составе вихретоковые преобразователи (ВТП) которые регистрируют первичное поле и поле дефекта – «классические ВТП» [1,2]. Такие ВТП одновременно служат источником возбуждения и регистрации вихревых токов в испытуемом объекте. Совмещение в одном преобразователе двух операций – возбуждение поля и измерения – является во многих, если не в большинстве, случаях не преимуществом, а скорее всего недостатком, так как здесь полностью исключается возможность (с целью повышения селективности метода) наиболее выгодного размещения измерительной обмотки относительно источника возбуждающего поля [3].

Для эффективной вихретоковой дефектоскопии металлоизделий авторами был разработан ортогональный вихретоковый преобразователь [4]. Его применение позволяет решать ряд задач для получения дефектоскопической информации с отстройкой от мешающих факторов, таких как влияние зазора, магнитной проницаемости, электрической проводимости объекта контроля (ОК) и т.п.

Основная часть. Целью данной работы является исследование математической модели взаимодействия ВТП с ферромагнитным образцом, содержащем трещину.

Для математического моделирования в работах [5-7] предложена модель взаимодействия ВТП с объектом, который содержит поверхностную трещину.

В модели приняты условия и ограничения, предусматривающие что вихревые токи в образце имеют поверхностную локализацию и они преимущественно направлены вдоль дефекта, то есть трещина рассматривается, как отрезок бесконечно тонкого проводника с током.

Обмотки преобразователя представлены бесконечно тонкими проводниками контур которых повторяет контур витков обмоток (рис. 1).

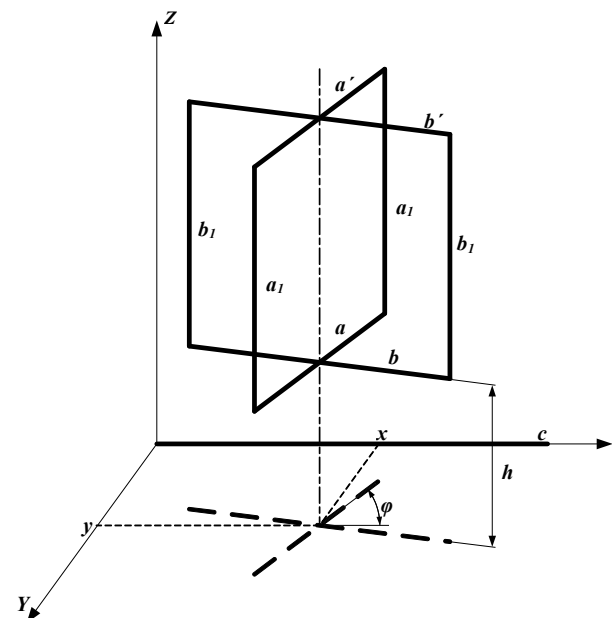


Рис.1. Расчетная модель взаимодействия ВТП с трещиной:

a – нижний участок возбуждающей обмотки; b – нижний участок измерительной обмотки; a_1 – боковая сторона возбуждающей обмотки; b_1 – боковая сторона измерительной обмотки; a' – верхний участок возбуждающей обмотки; b' – верхний участок измерительной обмотки; c – дефект; x, y – координаты проекции центральной части преобразователя; h – расстояние между плоскостью дефекта и преобразователем; φ – угол между дефектом и участком возбуждающей обмотки

В работе [8] авторами проведен теоритический анализ работы накладного трансформаторного ВТП и показано что выходное напряжение вихретокового преобразователя является функцией произведения взаимоиндуктивностей его обмоток с ОК:

$$U = f(M_{12} \cdot M_{23}), \quad (1)$$

где U – сигнал измерительной обмотки; M_{12} – взаимная индуктивность возбуждающей обмотки и ОК; M_{23} – взаимная индуктивность измерительной обмотки и ОК.

Из предварительного анализа данной модели следует (рис. 1), что боковые участки возбуждающей и измерительной обмоток (a_1 и b_1) имеют нулевую взаимоиндукцию с дефектом, так как они ориентированы

перпендикулярно к нему. Поэтому рассмотрим взаимоиндуктивности M_{ac} , $M_{a'c}$, M_{bc} , $M_{b'c}$ участков a , a' , b , b' с дефектом c . Тогда

$$M_{12} = M_{ac} - M_{a'c}, \quad M_{23} = M_{bc} - M_{b'c}. \quad (2)$$

Найдем указанные взаимоиндуктивности по методике [9] для геометрических параметров ВТП и координат в соответствии с рис. 1.

$$M_{ac} = \frac{\mu_0}{2\pi} \cos \varphi \left(\chi_{2ac} \operatorname{Arth} \frac{a}{D_{22ac} + D_{21ac}} + \gamma_{2ac} \operatorname{Arth} \frac{c}{D_{22ac} + D_{12ac}} - \chi_{1ac} \operatorname{Arth} \frac{a}{D_{11ac} + D_{12ac}} - \gamma_{1ac} \operatorname{Arth} \frac{c}{D_{11ac} + D_{21ac}} + \frac{h}{\sin \varphi} A_{ac} \right), \quad (3)$$

где χ_{2ac} – расстояние дальнего конца отрезка c до общего перпендикуляра с a ; γ_{2ac} – расстояние дальнего конца отрезка a до общего перпендикуляра с c ; χ_{1ac} – расстояние ближнего конца отрезка c до общего перпендикуляра с a ; γ_{1ac} – расстояние ближнего конца отрезка a до общего перпендикуляра с c ; D_{11ac} – расстояние между ближними концами отрезков a и c ; D_{12ac} – расстояние между ближним концом отрезка c и дальним концом отрезка a ; D_{21ac} – расстояние между ближним концом отрезка a и дальним концом отрезка c ; D_{22ac} – расстояние между дальними концами отрезков a и c ; A_{ac} – коэффициент влияния зазора h . Перечисленные величины находятся по формулам (4-12):

$$D_{11ac} = \sqrt{\left(x - \frac{a}{2} \cos \varphi\right)^2 + \left(y - \frac{a}{2} \sin \varphi\right)^2 + h^2}; \quad (4)$$

$$D_{12ac} = \sqrt{\left(x + \frac{a}{2} \cos \varphi\right)^2 + \left(y + \frac{a}{2} \sin \varphi\right)^2 + h^2}; \quad (5)$$

$$D_{21ac} = \sqrt{\left(c - x + \frac{a}{2} \cos \varphi\right)^2 + \left(y - \frac{a}{2} \sin \varphi\right)^2 + h^2}; \quad (6)$$

$$D_{22ac} = \sqrt{\left(c - x - \frac{a}{2} \cos \varphi\right)^2 + \left(y + \frac{a}{2} \sin \varphi\right)^2 + h^2}; \quad (7)$$

$$k_{ac}^2 = D_{12ac}^2 + D_{21ac}^2 - D_{11ac}^2 - D_{22ac}^2; \quad (8)$$

$$\chi_{1ac} = \frac{2a^2(D_{21ac}^2 - D_{11ac}^2 - c^2) + k_{ac}^2(D_{12ac}^2 - D_{11ac}^2 - a^2)}{4c^2a^2 - k_{ac}^4}c; \quad (9)$$

$$\gamma_{1ac} = \frac{2c^2(D_{12ac}^2 - D_{11ac}^2 - a^2) + k_{ac}^2(D_{21ac}^2 - D_{11ac}^2 - c^2)}{4c^2a^2 - k_{ac}^4}a; \quad (10)$$

$$\chi_{2ac} = \chi_{1ac} + c, \quad \gamma_{2ac} = \gamma_{1ac} + a; \quad (11)$$

$$A_{ac} = \operatorname{arctg} \left(\frac{\chi_{1ac} + \gamma_{1ac} + D_{11ac}}{h} \operatorname{tg} \frac{\varphi}{2} \right) + \operatorname{arctg} \left(\frac{\chi_{2ac} + \gamma_{2ac} + D_{22ac}}{h} \operatorname{tg} \frac{\varphi}{2} \right) - \operatorname{arctg} \left(\frac{\chi_{1ac} + \gamma_{2ac} + D_{12ac}}{h} \operatorname{tg} \frac{\varphi}{2} \right) - \operatorname{arctg} \left(\frac{\chi_{2ac} + \gamma_{1ac} + D_{21ac}}{h} \operatorname{tg} \frac{\varphi}{2} \right). \quad (12)$$

Аналогично для взаимоиндуктивности между a' и c с учетом того что $a' = a$:

$$M_{a'c} = \frac{\mu_0}{2\pi} \cos \varphi \left(\chi_{2a'c} \operatorname{Arth} \frac{a}{D_{22a'c} + D_{21a'c}} + \gamma_{2a'c} \operatorname{Arth} \frac{c}{D_{22a'c} + D_{12a'c}} - \chi_{1a'c} \operatorname{Arth} \frac{a}{D_{11a'c} + D_{12a'c}} - \gamma_{1a'c} \operatorname{Arth} \frac{c}{D_{11a'c} + D_{21a'c}} + \frac{(h + a_1)}{\sin \varphi} A_{a'c} \right), \quad (13)$$

где $\chi_{2a'c}$ – расстояние дальнего конца отрезка c до общего перпендикуляра с a' ; $\gamma_{2a'c}$ – расстояние дальнего конца отрезка a' до общего перпендикуляра с c ; $\chi_{1a'c}$ – расстояние ближнего конца отрезка c до общего перпендикуляра с a' ; $\gamma_{1a'c}$ – расстояние ближнего конца отрезка a' до общего перпендикуляра с c ; $D_{11a'c}$ – расстояние между ближними концами отрезков a' и c ; $D_{12a'c}$ – расстояние между ближним концом отрезка c и дальним концом отрезка a' ;

$D_{21a'c}$ – расстояние между ближним концом отрезка a' и дальним концом отрезка c ; $D_{22a'c}$ – расстояние между дальними концами отрезков a' и c ; $A_{a'c}$ – коэффициент влияния зазора $h+a_1$. Перечисленные величины находятся по формулам (14-22):

$$D_{11a'c} = \sqrt{\left(x - \frac{a}{2} \cos \varphi\right)^2 + \left(y - \frac{a}{2} \sin \varphi\right)^2 + (h + a_1)^2}; \quad (14)$$

$$D_{12a'c} = \sqrt{\left(x + \frac{a}{2} \cos \varphi\right)^2 + \left(y + \frac{a}{2} \sin \varphi\right)^2 + (h + a_1)^2}; \quad (15)$$

$$D_{21a'c} = \sqrt{\left(c - x + \frac{a}{2} \cos \varphi\right)^2 + \left(y - \frac{a}{2} \sin \varphi\right)^2 + (h + a_1)^2}; \quad (16)$$

$$D_{22a'c} = \sqrt{\left(c - x - \frac{a}{2} \cos \varphi\right)^2 + \left(y + \frac{a}{2} \sin \varphi\right)^2 + (h + a_1)^2}; \quad (17)$$

$$k_{a'c}^2 = D_{12a'c}^2 + D_{21a'c}^2 - D_{11a'c}^2 - D_{22a'c}^2; \quad (18)$$

$$\chi_{1a'c} = \frac{2a^2(D_{21a'c}^2 - D_{11a'c}^2 - c^2) + k_{a'c}^2(D_{12a'c}^2 - D_{11a'c}^2 - a^2)}{4c^2a^2 - k_{a'c}^4}c; \quad (19)$$

$$\gamma_{1a'c} = \frac{2c^2(D_{12a'c}^2 - D_{11a'c}^2 - a^2) + k_{a'c}^2(D_{21a'c}^2 - D_{11a'c}^2 - c^2)}{4c^2a^2 - k_{a'c}^4}a; \quad (20)$$

$$\chi_{2a'c} = \chi_{1a'c} + c, \quad \gamma_{2a'c} = \gamma_{1a'c} + a; \quad (21)$$

$$A_{a'c} = \arctg\left(\frac{\chi_{1a'c} + \gamma_{1a'c} + D_{11a'c} \operatorname{tg} \frac{\varphi}{2}}{h + a_1}\right) + \arctg\left(\frac{\chi_{2a'c} + \gamma_{2a'c} + D_{22a'c} \operatorname{tg} \frac{\varphi}{2}}{h + a_1}\right) - \arctg\left(\frac{\chi_{1a'c} + \gamma_{2a'c} + D_{12a'c} \operatorname{tg} \frac{\varphi}{2}}{h + a_1}\right) - \arctg\left(\frac{\chi_{2a'c} + \gamma_{1a'c} + D_{21a'c} \operatorname{tg} \frac{\varphi}{2}}{h + a_1}\right). \quad (22)$$

Для взаимной индуктивности между отрезками b и c запишем:

$$M_{bc} = \frac{\mu_0}{2\pi} \sin \varphi \left(\chi_{2bc} \operatorname{Arth} \frac{b}{D_{22bc} + D_{21bc}} + \gamma_{2bc} \operatorname{Arth} \frac{c}{D_{22bc} + D_{12bc}} - \chi_{1bc} \operatorname{Arth} \frac{b}{D_{11bc} + D_{12bc}} - \gamma_{1bc} \operatorname{Arth} \frac{c}{D_{11bc} + D_{21bc}} + \frac{h}{\cos \varphi} A_{bc} \right), \quad (23)$$

где χ_{2bc} – расстояние дальнего конца отрезка c до общего перпендикуляра с b ; γ_{2bc} – расстояние дальнего конца отрезка b до общего перпендикуляра с c ; χ_{1bc} – расстояние ближнего конца отрезка c до общего перпендикуляра с b ; γ_{1bc} – расстояние ближнего конца отрезка b до общего перпендикуляра с c ; D_{11bc} – расстояние между ближними концами отрезков b и c ; D_{12bc} – расстояние между ближним концом отрезка c и дальним концом отрезка b ; D_{21bc} – расстояние между ближним концом отрезка b и дальним концом отрезка c ; D_{22bc} – расстояние между дальними концами отрезков b и c ; A_{bc} – коэффициент влияния зазора h . Перечисленные величины находятся по формулам (24-32):

$$D_{11bc} = \sqrt{\left(x - \frac{b}{2} \sin \varphi\right)^2 + \left(y + \frac{b}{2} \cos \varphi\right)^2 + h^2}; \quad (24)$$

$$D_{12bc} = \sqrt{\left(x + \frac{b}{2} \sin \varphi\right)^2 + \left(y - \frac{b}{2} \cos \varphi\right)^2 + h^2}; \quad (25)$$

$$D_{21bc} = \sqrt{\left(c - x + \frac{b}{2} \sin \varphi\right)^2 + \left(y + \frac{b}{2} \cos \varphi\right)^2 + h^2}; \quad (26)$$

$$D_{22bc} = \sqrt{\left(c - x - \frac{b}{2} \sin \varphi\right)^2 + \left(y - \frac{b}{2} \cos \varphi\right)^2 + h^2}; \quad (27)$$

$$k_{bc}^2 = D_{12bc}^2 + D_{21bc}^2 - D_{11bc}^2 - D_{22bc}^2; \quad (28)$$

$$\chi_{1bc} = \frac{2b^2(D_{21bc}^2 - D_{11bc}^2 - c^2) + k_{bc}^2(D_{12bc}^2 - D_{11bc}^2 - b^2)}{4c^2b^2 - k_{bc}^4} c; \quad (29)$$

$$\gamma_{1bc} = \frac{2c^2(D_{12bc}^2 - D_{11bc}^2 - b^2) + k_{bc}^2(D_{21bc}^2 - D_{11bc}^2 - c^2)}{4c^2b^2 - k_{bc}^4} b; \quad (30)$$

$$\chi_{2bc} = \chi_{1bc} + c, \quad \gamma_{2bc} = \gamma_{1bc} + b; \quad (31)$$

$$\begin{aligned} A_{bc} = & \arctg\left(\frac{\chi_{1bc} + \gamma_{1bc} + D_{11bc}}{h} \operatorname{tg}\left(\frac{\pi}{4} - \frac{\varphi}{2}\right)\right) + \\ & + \arctg\left(\frac{\chi_{2bc} + \gamma_{2bc} + D_{22bc}}{h} \operatorname{tg}\left(\frac{\pi}{4} - \frac{\varphi}{2}\right)\right) - \\ & - \arctg\left(\frac{\chi_{1bc} + \gamma_{2bc} + D_{12bc}}{h} \operatorname{tg}\left(\frac{\pi}{4} - \frac{\varphi}{2}\right)\right) - \\ & - \arctg\left(\frac{\chi_{2bc} + \gamma_{1bc} + D_{21bc}}{h} \operatorname{tg}\left(\frac{\pi}{4} - \frac{\varphi}{2}\right)\right). \end{aligned} \quad (32)$$

Аналогично для взаимоиндуктивности между b' и c с учетом того что $b' = b$:

$$\begin{aligned} M_{b'c} = & \frac{\mu_0}{2\pi} \sin \varphi \left(\chi_{2b'c} \operatorname{Arth} \frac{b}{D_{22b'c} + D_{21b'c}} + \gamma_{2b'c} \operatorname{Arth} \frac{c}{D_{22b'c} + D_{12b'c}} - \right. \\ & \left. - \chi_{1b'c} \operatorname{Arth} \frac{b}{D_{11b'c} + D_{12b'c}} - \gamma_{1b'c} \operatorname{Arth} \frac{c}{D_{11b'c} + D_{21b'c}} + \frac{h + b_1}{\cos \varphi} A_{b'c} \right), \end{aligned} \quad (33)$$

где $\chi_{2b'c}$ – расстояние дальнего конца отрезка c до общего перпендикуляра с b' ; $\gamma_{2b'c}$ – расстояние дальнего конца отрезка b' до общего перпендикуляра с c ; $\chi_{1b'c}$ – расстояние ближнего конца отрезка c до общего перпендикуляра с b' ; $\gamma_{1b'c}$ – расстояние ближнего конца отрезка b' до общего перпендикуляра с c ; $D_{11b'c}$ – расстояние между ближними концами отрезков b' и c ; $D_{12b'c}$ –

расстояние между ближним концом отрезка c и дальним концом отрезка b' ; $D_{21b'c}$ – расстояние между ближним концом отрезка b' и дальним концом отрезка c ; $D_{22b'c}$ – расстояние между дальними концами отрезков b' и c ; $A_{b'c}$ – коэффициент влияния зазора $h + b_1$. Перечисленные величины находятся по формулам (34-42):

$$D_{11b'c} = \sqrt{\left(x - \frac{b}{2} \sin \varphi\right)^2 + \left(y + \frac{b}{2} \cos \varphi\right)^2 + (h + b_1)^2}; \quad (34)$$

$$D_{12b'c} = \sqrt{\left(x + \frac{b}{2} \sin \varphi\right)^2 + \left(y - \frac{b}{2} \cos \varphi\right)^2 + (h + b_1)^2}; \quad (35)$$

$$D_{21b'c} = \sqrt{\left(c - x + \frac{b}{2} \sin \varphi\right)^2 + \left(y + \frac{b}{2} \cos \varphi\right)^2 + (h + b_1)^2}; \quad (36)$$

$$D_{22b'c} = \sqrt{\left(c - x - \frac{b}{2} \sin \varphi\right)^2 + \left(y - \frac{b}{2} \cos \varphi\right)^2 + (h + b_1)^2}; \quad (37)$$

$$k_{b'c}^2 = D_{12b'c}^2 + D_{21b'c}^2 - D_{11b'c}^2 - D_{22b'c}^2; \quad (38)$$

$$\chi_{1b'c} = \frac{2b^2(D_{21b'c}^2 - D_{11b'c}^2 - c^2) + k_{b'c}^2(D_{12b'c}^2 - D_{11b'c}^2 - b^2)}{4c^2b^2 - k_{b'c}^4} c; \quad (39)$$

$$\gamma_{1b'c} = \frac{2c^2(D_{12b'c}^2 - D_{11b'c}^2 - b^2) + k_{b'c}^2(D_{21b'c}^2 - D_{11b'c}^2 - c^2)}{4c^2b^2 - k_{b'c}^4} b; \quad (40)$$

$$\chi_{2b'c} = \chi_{1b'c} + c, \quad \gamma_{2b'c} = \gamma_{1b'c} + b; \quad (41)$$

$$A_{b'c} = \arctg\left(\frac{\chi_{1b'c} + \gamma_{1b'c} + D_{11b'c}}{h + b_1} \operatorname{tg}\left(\frac{\pi}{4} - \frac{\varphi}{2}\right)\right) +$$

$$+ \arctg\left(\frac{\chi_{2b'c} + \gamma_{2b'c} + D_{22b'c}}{h + b_1} \operatorname{tg}\left(\frac{\pi}{4} - \frac{\varphi}{2}\right)\right) -$$

$$\begin{aligned}
 & -\arctg\left(\frac{\chi_{1b'c} + \gamma_{2b'c} + D_{12b'c}}{h + b_1} \operatorname{tg}\left(\frac{\pi}{4} - \frac{\varphi}{2}\right)\right) - \\
 & -\arctg\left(\frac{\chi_{2b'c} + \gamma_{1b'c} + D_{21b'c}}{h + b_1} \operatorname{tg}\left(\frac{\pi}{4} - \frac{\varphi}{2}\right)\right). \quad (42)
 \end{aligned}$$

Полученные аналитические выражения (2-42) позволяют определить функцию геометрических параметров ВТП и координат:

$$\frac{U}{U_{\max}} = \frac{(M_{12} \cdot M_{23})}{(M_{12} \cdot M_{23})_{\max}} = f(a, b, c, a_1, b_1, x, y, h, \varphi), \quad (43)$$

где U/U_{\max} – нормированная амплитуда сигнала ВТП, исходя из (1); a, b, c, a_1, b_1 – геометрические параметры ВТП и дефекта; x, y, h, φ – координаты ВТП относительно дефекта (см. рис. 1).

Для обобщенного исследования зависимостей выходного сигнала ВТП были выбраны единичные отрезки пропорциональными размерам обмоток ВТП. Расчет модели и построение зависимостей осуществлялись с применением программных продуктов MS EXEL, MATLAB, Advanced Grapher.

Анализ полученных аналитических выражений показывает, что особенностью ВТП [4] является зависимость полезного сигнала от угла φ между дефектом и возбуждающей обмоткой. Это дает возможность идентифицировать ориентацию протяженной трещины. На рис. 2–4 приведены результаты моделирования зависимости сигнала от φ для различных длин дефекта, зазора и соотношения размеров обмоток ВТП (справа на рисунках эти зависимости представлены в полярной системе координат: $0 < \varphi < \pi/2$).

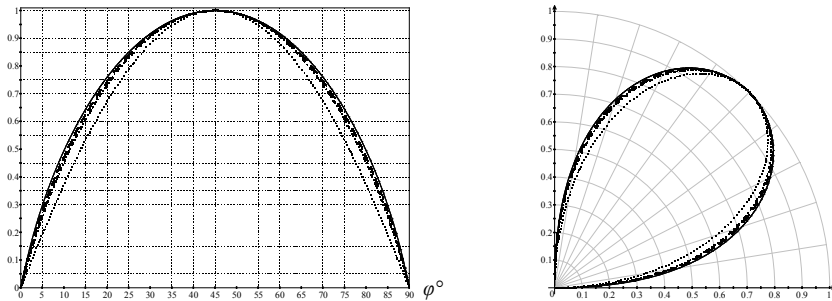


Рис. 2. Зависимость нормированной амплитуды от угла φ при различных длинах дефекта (— — $c=1$; - - - $c>10$; - · - · $c=0,5$; ····· $c=0,1$)

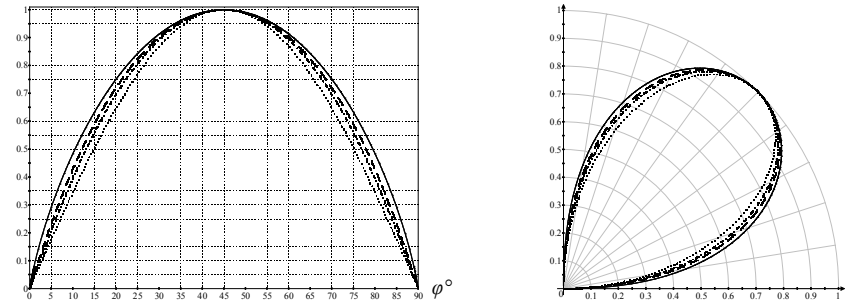


Рис. 3. Зависимость нормированной амплитуды от угла φ при различных зазорах (— — $h=0$; - - - $h=0,05$; - · - · $h=0,1$; ····· $h=0,5$)

Анализ данных, приведенных на рис. 2–3 показывает, что сигнал ВТП имеет максимумы при $\varphi=45^\circ, 135^\circ, 225^\circ, 315^\circ$, а форма зависимости $U/U_{\max} = f(\varphi)$ определяется величиной дефекта и зазора. Установлено наличие смещения максимума сигнала при различных соотношениях размеров возбуждающей и измерительной обмоток ВТП (рис. 4). Это дает возможность корректировать диаграмму направленности ВТП.

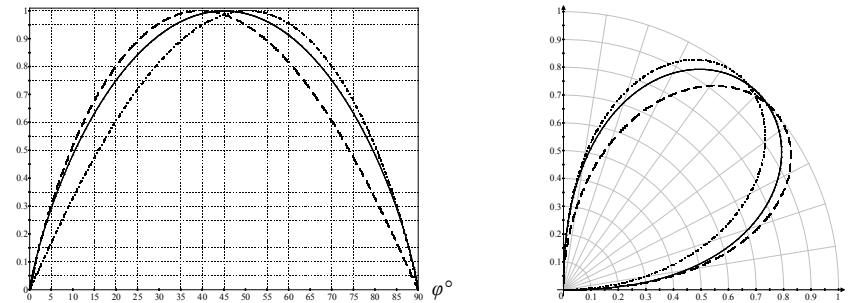


Рис. 4. Зависимость нормированной амплитуды от угла φ при разных отношениях длин обмоток ВТП (— — $a/b=1$; - - - $a/b=10$; - · - · $a/b=0,1$)

На рис. 5 приведены зависимости сигнала ВТП от длины трещины при различных зазорах. Видно, что при больших трещинах сигнал ВТП мало зависит от их длины, однако с увеличением зазора чувствительность к размеру трещины увеличивается.

Зависимость нормированной амплитуды сигнала от величины зазора представлена на рис. 6. Из анализа данных приведенных на рис. 6 следует, что чувствительность к влиянию зазора более существенна для коротких трещин.

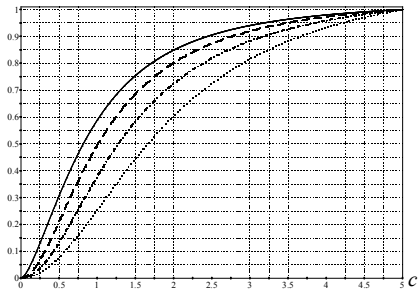


Рис. 5. Зависимость нормированной амплитуды от длины трещины c при различных зазорах (— $h=0$; --- $h=0,1$; - - - $h=0,25$; $h=0,5$)

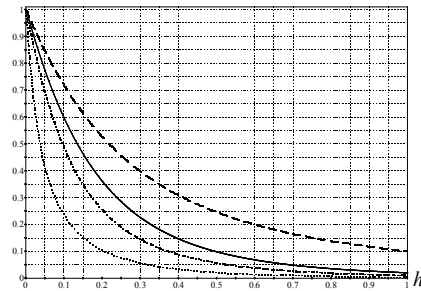


Рис. 6. Зависимость нормированной амплитуды от зазора h при различных длинах трещины (— $c=1$; - - - $c=10$; --- $c=0,5$; $c=0,1$)

Для оценки влияния зазора при различных размерах a_1 , b_1 (см. рис. 1) участков обмоток ВТП получены зависимости, представленные на рис. 7–8. При небольших зазорах выбор размеров a_1 , b_1 не критичен, однако сигнал ВТП монотонно увеличивается при увеличении a_1 и b_1 пропорционально зазору. То есть, указанные размеры необходимо выбирать с учетом возможных рабочих зазоров или толщины неэлектропроводных покрытий.

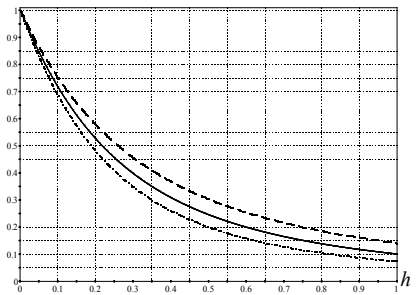


Рис. 7. Зависимость нормированной амплитуды от зазора h при различных длинах обмоток ВТП (— $a_1=b_1=1$; --- $a_1=b_1=2$; - - - $a_1=b_1=0,5$)

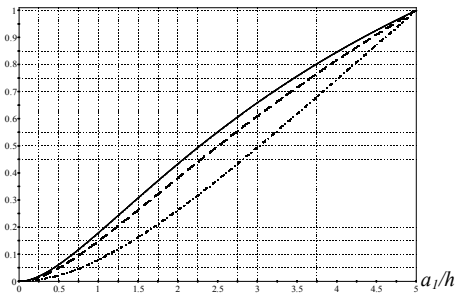


Рис. 8. Зависимость нормированной амплитуды от отношения a_1/h при различных зазорах (— $h=1$; - - - $h=0,5$; --- $h=0,1$)

Зависимости амплитуды сигнала ВТП от перемещения вдоль короткого и длинного дефектов приведены на рис. 9. Точки перегиба графиков соответствуют краю дефектов. При увеличении зазора чувствительность к перемещению вблизи края дефекта уменьшается.

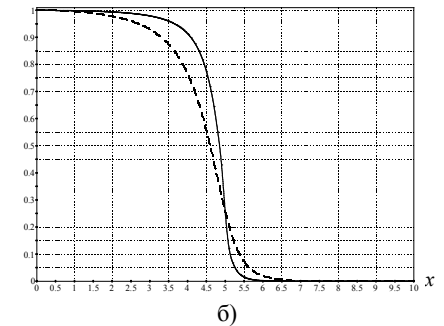
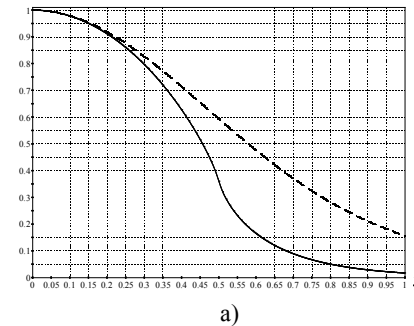


Рис. 9. Зависимость нормированной амплитуды от перемещения x вдоль трещины c при различных зазорах (— $h=0$; --- $h=0,5$): а) $c=1$; б) $c=10$

На рис. 10–11 представлены зависимости полезного сигнала ВТП от относительного перемещения x/c (0 соответствует середине дефекта, 0,5 – краю) для трещин различной длины. Из анализа данных следует, что чувствительность к перемещению вблизи края дефектов пропорциональна их размерам, то есть для протяженных дефектов возможно более точное определение их границ при сканировании.

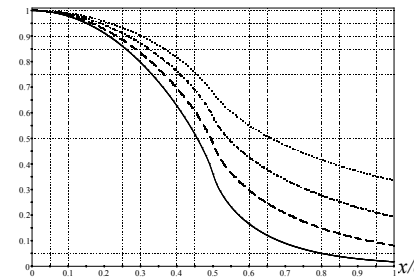


Рис. 10. Зависимость нормированной амплитуды от отношения x/c при различных длинах трещины (— $c=1$; --- $c=0,5$; - - - $c=0,25$; $c=0,1$)

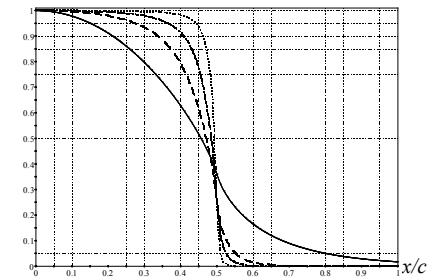


Рис. 11. Зависимость нормированной амплитуды от отношения x/c при различных длинах трещины (— $c=1$; --- $c=5$; - - - $c=10$; $c=25$)

Для определения сигнала при перемещении ВТП от середины дефекта вдоль Y рассчитаны зависимости при различных размерах трещин (рис. 12) и зазоров (рис. 13).

Для рассмотренной модели также получены пространственные распределения сигнала ВТП при сканировании образца с поверхностной трещиной, рис. 14.

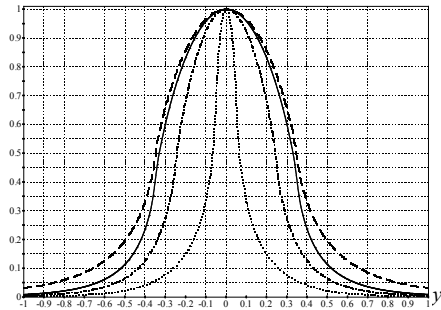


Рис. 12. Зависимость нормированной амплитуды от координаты y при различных длинах трещины (— — $c=1$; - - - $c>10$; - · - · $c=0,5$; ····· $c=0,1$)

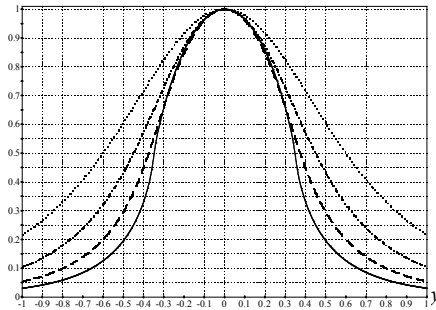


Рис. 13. Зависимость нормированной амплитуды от координаты y при различных зазорах (— — $h=0$; - - - $h=0,1$; - · - · $h=0,25$; ····· $h=0,5$)

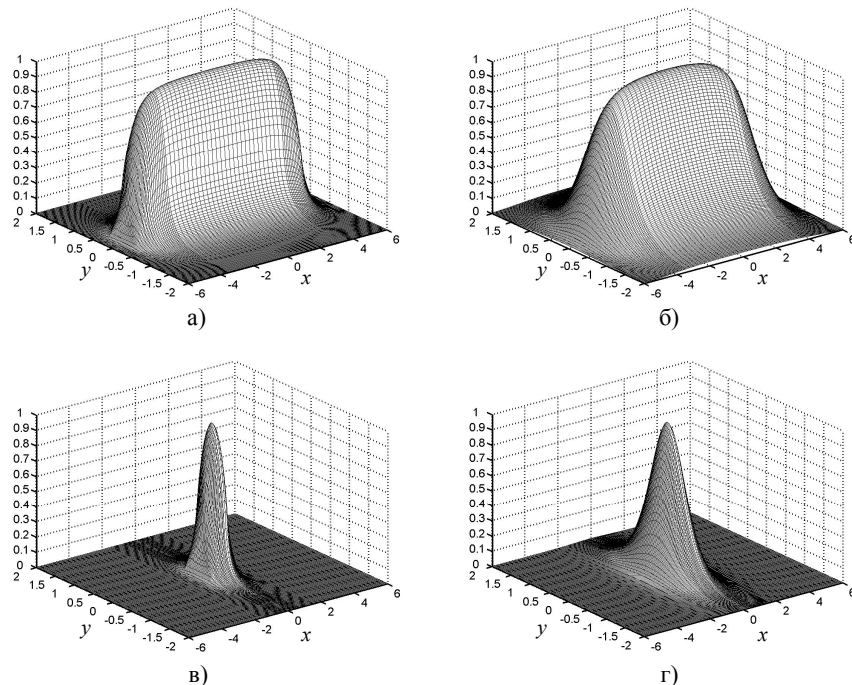


Рис. 14. Пространственное распределение сигнала ВТП: а) $c=10, h=0$; б) $c=10, h=0,5$; в) $c=1, h=0$; г) $c=1, h=0,5$

Выводы. В данной работе получены аналитические зависимости сигналов ВТП от конструктивных и пространственных параметров, позволяющие расширить представление о закономерностях работы ортогонального вихретокового преобразователя. С помощью разработанной модели установлено, что сигнал ВТП имеет максимум при $\varphi=45^\circ, 135^\circ, 225^\circ, 315^\circ$, а форма зависимости $U/U_{\max} = f(\varphi)$ определяется величиной дефекта и зазора. При различных соотношениях размеров возбуждающей и измерительной обмоток ВТП наблюдается смещение максимума сигнала до $\pm 10^\circ$. Показано, что для больших трещин сигнал ВТП мало зависит от их длины, однако с увеличением зазора чувствительность к размеру трещины увеличивается, а чувствительность к влиянию зазора существенна для коротких трещин. При небольших рабочих зазорах выбор размеров a_1, b_1 не критичен, однако сигнал ВТП монотонно увеличивается при увеличении a_1 и b_1 пропорционально зазору. При увеличении зазора чувствительность к перемещению ВТП вблизи края дефекта уменьшается. Исследованная модель позволяет находить пространственные распределения сигнала ВТП при сканировании образца с поверхностной трещиной. Используя результаты данной работы можно осуществить выбор параметров ортогонального ВТП для решения конкретных задач вихретоковой дефектоскопии.

Список литературы: 1. Неразрушающий контроль: Справочник: В 8 т. / Под общ. ред. В.В. Клюева. Т. 2: В 2 кн. Кн 2: Ю.К. Федосенко, В.Г. Герасимов, А.Д. Покровский, Ю.Я. Останин Вихретоковый контроль. – 2-е изд., испр. – М.: Машиностроение, 2006. – 688 с.: ил. 2. Соболев В.С., Шкарлет Ю.М. Накладные и экранные датчики (для контроля методом вихревых токов). Новосибирск: Наука, 1967. – 144 с. 3. Н.Н. Зацепин. О некоторых особенностях формирования магнитного поля вихревых токов над поверхностными дефектами проводящих изделий. // Неруйнівний контроль та технічна діагностика: Матеріали Четвертої національної науково-технічної конференції, 19 – 23 травня 2003 р., Київ, 2003 р., с.98-100. 4. Патент на корисну модель № 55471 UA, МПК G01N 27/90. Накладний вихрострумний перетворювач для неруйнівного контролю / Г.М. Сучков, Ю.В. Хомяк; заяв. 05.07.2010; опубл. 10.12.2010. 5. Хомяк Ю.В. Фізична модель впливу тонкої поверхневої тріщини металевго зразка на накладний вихрострумний перетворювач // анотації доповідей XVII Міжнародної науково-практичної конференції «Інформаційні технології: наука, техніка, технологія, освіта, здоров'я». – НТУ «ХПІ» – 2009. – С. 529. 6. Г.М. Сучков, Ю.В. Хомяк. Расчетная модель ортогонального вихретокового преобразователя // Вісник Національного технічного університету «Харківський політехнічний інститут». Збірник наукових праць. «Електроенергетика і преобразовательная техника». – Харків: НТУ «ХПІ» – №12. – 2010. – с.196–201. 7. Сучков Г.М., Хомяк Ю.В. Развитие модели взаимодействия вихрострумного перетворювача з металевим зразком, що містить поверхневу тріщину // Збірник тез доповідей IX Міжнародної науково-технічної конференції ПРИЛАДОБУДУВАННЯ: стан і перспективи, 27-28 квітня 2010 р., м. Київ, ПБФ, НТУУ «КПІ». – 2010. – с.217–218. 8. Г.М. Сучков, Ю.В. Хомяк. Теоретическое исследование накладного вихретокового преобразователя с минимальной взаимной индуктивностью // Вісник Національного технічного університету «Харківський політехнічний інститут». Збірник наукових праць. Тематичний випуск: Прилади і методи контролю та визначення складу речовин. – Харків: НТУ «ХПІ» – №48. – 2008. – с.100–103. 9. Калантаров П.Л., Цейтлин Л.А. Расчет индуктивностей: Справочная книга. – 3-е изд., перераб. и доп. Л.: Энергоатомиздат, 1986. – 488 с.: ил.

Поступила в редколлегию 20.05.11